

The Best Biclique Cryptanalysis of the Lightweight Cipher FUTURE

Gabriel C. de Carvalho
Luis A. B. Kowada

gabrielcc@id.uff.br
luis@ic.uff.br

Sumário

- 1 Introdução
- 2 Criptoanálise Biclique
- 3 A cifra FUTURE
- 4 Biclique Balanceada
- 5 Conclusões

Introdução

Introdução

- Uma **cifra leve** é uma cifra projetada para ser usada em ambientes muito restritos, como sistemas embarcados, dispositivos de rádio e redes de sensores.

Introdução

- Uma **cifra leve** é uma cifra projetada para ser usada em ambientes muito restritos, como sistemas embarcados, dispositivos de rádio e redes de sensores.
- **FUTURE** é um dos desenvolvimentos mais recentes nesse campo (2022).

Introdução

- Uma **cifra leve** é uma cifra projetada para ser usada em ambientes muito restritos, como sistemas embarcados, dispositivos de rádio e redes de sensores.
- **FUTURE** é um dos desenvolvimentos mais recentes nesse campo (2022).
- A cifra tem sido alvo de vários ataques nestes dois anos.

Introdução

- Um **ataque** (ou **criptoanálise**) é um algoritmo que tenta descobrir a chave secreta K a partir de pares de texto claro/cifrado.

$$P \xrightarrow[\text{future}]{K} C$$

Introdução

- Um **ataque** (ou **criptoanálise**) é um algoritmo que tenta descobrir a chave secreta K a partir de pares de texto claro/cifrado.

$$P \xrightarrow[\text{future}]{K} C$$

- A **criptoanálise biclique** é famosa por sua aplicação à cifra Rijndael (AES), sendo o primeiro ataque à sua versão completa.

Introdução

- Um **ataque** (ou **criptoanálise**) é um algoritmo que tenta descobrir a chave secreta K a partir de pares de texto claro/cifrado.

$$P \xrightarrow[\text{future}]{K} C$$

- A **criptoanálise biclique** é famosa por sua aplicação à cifra Rijndael (AES), sendo o primeiro ataque à sua versão completa.
- Foi aplicada a muitas outras cifras na última década (ARIA, PRESENT, LED, Serpent, IDEA, PICCOLO, ...).

Ataques na literatura

Ataque	Ano	Tempo	Dados	Memória	Referência
Meet-in-the-Middle	2023	2^{126}	2^{64}	2^{36}	[2]
Biclique Balanceada	2024	$2^{125.8875}$	2^{48}	2^{32}	[1]
Múltiplas Bicliques	2024	$2^{125.5365}$	2^{48}	2^{32}	[1]
Integral	2024	$2^{123.7}$	2^{63}	≈ 0	[3]
Integral	2024	2^{112}	2^{64}	≈ 0	[3]

Nossas Contribuições

- Todos os ataques atuais à FUTURE têm o mesmo problema: a **complexidade de dados** é muito grande para ser relevante.

Nossas Contribuições

- Todos os ataques atuais à FUTURE têm o mesmo problema: a **complexidade de dados** é muito grande para ser relevante.
- Este artigo apresenta o ataque biclique com **menor complexidade de tempo**, e outro que requer o mínimo de dados.

Nossas Contribuições

- Todos os ataques atuais à FUTURE têm o mesmo problema: a **complexidade de dados** é muito grande para ser relevante.
- Este artigo apresenta o ataque biclique com **menor complexidade de tempo**, e outro que requer o mínimo de dados.
- Ambos foram obtidos através da busca **semi-automatizada** por bicliques baseadas no conceito de **Conjuntos Geradores de Chave**.

Ataques na literatura

Ataque	Ano	Tempo	Dados	Memória	Referência
Meet-in-the-Middle	2023	2^{126}	2^{64}	2^{36}	[2]
Biclique Balanceada	2024	$2^{125.8875}$	2^{48}	2^{32}	[1]
Múltiplas Biclíquies	2024	$2^{125.5365}$	2^{48}	2^{32}	[1]
Integral	2024	$2^{123.7}$	2^{63}	≈ 0	[3]
Integral	2024	2^{112}	2^{64}	≈ 0	[3]
CGC-Biclique	2024	$2^{125.18}$	2^{20}	≈ 0	Nosso
CGC-Estrela	2024	$2^{126.38}$	1	≈ 0	Nosso

Criptoanálise Biclique

Visão Geral

- A criptoanálise biclique possui uma **fase de preparação** e três passos que são executados em loop.

Fase de preparação:

Visão Geral

- A criptoanálise biclique possui uma **fase de preparação** e três passos que são executados em loop.

Fase de preparação:

- Um adversário particiona o espaço de chaves em grupos com 2^{2d} chaves para algum d .

Visão Geral

- A criptoanálise biclique possui uma **fase de preparação** e três passos que são executados em loop.

Fase de preparação:

- Um adversário particiona o espaço de chaves em grupos com 2^{2d} chaves para algum d .
- Cada grupo de chaves é associado a uma matriz $2^d \times 2^d$ K , onde cada elemento $K[i, j]$ representa uma chave no grupo (Há 2^{k-2d} grupos).

Visão Geral

- A criptoanálise biclique possui uma **fase de preparação** e três passos que são executados em loop.

Fase de preparação:

- Um adversário particiona o espaço de chaves em grupos com 2^{2d} chaves para algum d .
- Cada grupo de chaves é associado a uma matriz $2^d \times 2^d$ K , onde cada elemento $K[i, j]$ representa uma chave no grupo (Há 2^{k-2d} grupos).
- $Cifra = f \circ g \circ h$ sendo atacada é uma composição de três subcifras f , g e h .

Visão Geral

Para cada grupo de chaves:

Visão Geral

Para cada grupo de chaves:

- A **biclique é construída** sobre a subcifra f , tal que

$$\forall i, j : S_j \xrightarrow[f]{K[i,j]} C_i,$$

onde $0 \leq i, j < 2^d$, S_j são estados internos da cifra e C_i são textos cifrados.

Visão Geral

Para cada grupo de chaves:

- A **biclique é construída** sobre a subcifra f , tal que

$$\forall i, j : S_j \xrightarrow[f]{K[i,j]} C_i,$$

onde $0 \leq i, j < 2^d$, S_j são estados internos da cifra e C_i são textos cifrados.

- Este é um ataque de texto cifrado escolhido, é possível **obter os textos claros** correspondentes

$$\forall i : C_i \xrightarrow[(f \circ g \circ h)^{-1}]{\text{oraculo de decifragem}} P_i.$$

Visão Geral

Para cada grupo de chaves:

- A **biclique é construída** sobre a subcifra f , tal que

$$\forall i, j : S_j \xrightarrow[f]{K[i,j]} C_i,$$

onde $0 \leq i, j < 2^d$, S_j são estados internos da cifra e C_i são textos cifrados.

- Este é um ataque de texto cifrado escolhido, é possível **obter os textos claros** correspondentes

$$\forall i : C_i \xrightarrow[(f \circ g \circ h)^{-1}]{\text{oraculo de decifragem}} P_i.$$

- Para cada chave $K[i, j]$ no grupo, testa-se (**meet-in-the-middle**)

$$\exists i, j : P_i \xrightarrow[g \circ h]{K[i,j]} S_j.$$

Combinação com Pré-computações

Etapa de pré-computação

Combinação com Pré-computações

Etapa de pré-computação

- O adversário calcula e armazena $2 \cdot 2^d$ computações da cifra até uma **variável intermediária** v .

$$\forall i : P_i \xrightarrow[h]{K[i,0]} v_{i,0}^1 \text{ and } \forall j : v_{0,j}^2 \xleftarrow[g^{-1]}{K[0,j]} S_j.$$

Combinação com Pré-computações

Etapa de pré-computação

- O adversário calcula e armazena $2 \cdot 2^d$ computações da cifra até uma **variável intermediária** v .

$$\forall i : P_i \xrightarrow[h]{K[i,0]} v_{i,0}^1 \text{ and } \forall j : v_{0,j}^2 \xleftarrow[g^{-1}]{K[0,j]} S_j.$$

- Todos os estados internos e subchaves de g e h até v devem ser armazenados.

Combinação com Pré-computações

Etapa de pré-computação

- O adversário calcula e armazena $2 \cdot 2^d$ computações da cifra até uma **variável intermediária** v .

$$\forall i : P_i \xrightarrow[h]{K[i,0]} v_{i,0}^1 \text{ and } \forall j : v_{0,j}^2 \xleftarrow[g^{-1}]{K[0,j]} S_j.$$

- Todos os estados internos e subchaves de g e h até v devem ser armazenados.

Etapa de recomputação

Combinação com Pré-computações

Etapa de pré-computação

- O adversário calcula e armazena $2 \cdot 2^d$ computações da cifra até uma **variável intermediária** v .

$$\forall i : P_i \xrightarrow[h]{K[i,0]} v_{i,0}^1 \text{ and } \forall j : v_{0,j}^2 \xleftarrow[g^{-1}]{K[0,j]} S_j.$$

- Todos os estados internos e subchaves de g e h até v devem ser armazenados.

Etapa de recomputação

- As partes que diferem dos valores armazenados devem ser recomputadas.

Complexidades

- Este ataque é uma otimização de força bruta. Três tipos de complexidades são de interesse: **memória**, **dados** e **tempo**.

Complexidades

- Este ataque é uma otimização de força bruta. Três tipos de complexidades são de interesse: **memória**, **dados** e **tempo**.
- A **complexidade de memória** é dominada pela etapa de **pré-computação**.

Complexidades

- Este ataque é uma otimização de força bruta. Três tipos de complexidades são de interesse: **memória**, **dados** e **tempo**.
- A **complexidade de memória** é dominada pela etapa de **pré-computação**.
- A **complexidade de dados** depende apenas de quantos bits de C são afetados pelos diferenciais $-\Delta$.

Complexidades

- Este ataque é uma otimização de força bruta. Três tipos de complexidades são de interesse: **memória**, **dados** e **tempo**.
- A **complexidade de memória** é dominada pela etapa de **pré-computação**.
- A **complexidade de dados** depende apenas de quantos bits de C são afetados pelos diferenciais $-\Delta$.
- A **complexidade de tempo** é

$$C_{time} = 2^{k-2d} (C_{biclique} + C_{precomp} + C_{recomp} + C_{falpos}).$$

A cifra *FUTURE*

Estado

- É uma cifra *AES-like*.
- Possui 10 rodadas.
- Blocos de 64 bits.
- Chave de 128 bits.

s_0	s_1	s_2	s_3
s_4	s_5	s_6	s_7
s_8	s_9	s_{10}	s_{11}
s_{12}	s_{13}	s_{14}	s_{15}

AddKey (AK)

s_0	s_1	s_2	s_3
s_4	s_5	s_6	s_7
s_8	s_9	s_{10}	s_{11}
s_{12}	s_{13}	s_{14}	s_{15}

→

$s_0 \oplus K_0^i$	$s_1 \oplus K_1^i$	$s_2 \oplus K_2^i$	$s_3 \oplus K_3^i$
$s_4 \oplus K_4^i$	$s_5 \oplus K_5^i$	$s_6 \oplus K_6^i$	$s_7 \oplus K_7^i$
$s_8 \oplus K_8^i$	$s_9 \oplus K_9^i$	$s_{10} \oplus K_{10}^i$	$s_{11} \oplus K_{11}^i$
$s_{12} \oplus K_{12}^i$	$s_{13} \oplus K_{13}^i$	$s_{14} \oplus K_{14}^i$	$s_{15} \oplus K_{15}^i$

SubCell

$$S =$$

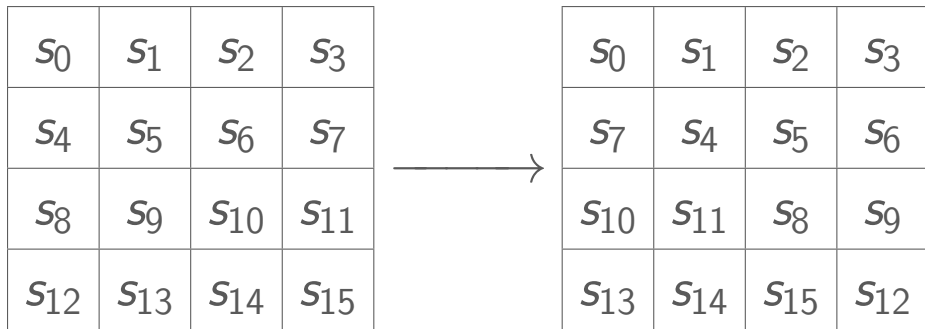
0	1	2	3	4	5	6	7	8	9	A	B	C	D	E	F
1	3	0	2	7	E	4	D	9	A	C	6	F	5	8	B

s_0	s_1	s_2	s_3
s_4	s_5	s_6	s_7
s_8	s_9	s_{10}	s_{11}
s_{12}	s_{13}	s_{14}	s_{15}



$S(s_0)$	$S(s_1)$	$S(s_2)$	$S(s_3)$
$S(s_4)$	$S(s_5)$	$S(s_6)$	$S(s_7)$
$S(s_8)$	$S(s_9)$	$S(s_{10})$	$S(s_{11})$
$S(s_{12})$	$S(s_{13})$	$S(s_{14})$	$S(s_{15})$

ShiftRows



MixColumns

- Multiplicação em $GF(2^4)$.
- Polinômio $x^4 + x + 1$.

$$\begin{pmatrix} 8 & 9 & 1 & 8 \\ 2 & 2 & 9 & 9 \\ 2 & 3 & 8 & 9 \\ 9 & 9 & 8 & 1 \end{pmatrix}$$

Sequenciamento de Chaves (*Key-Schedule*)

- O sequenciamento de chaves para esta cifra é extremamente simples.

Sequenciamento de Chaves (*Key-Schedule*)

- O sequenciamento de chaves para esta cifra é extremamente simples.
- A chave de 128 bits é particionada em duas, os 64 bits mais à esquerda se tornam X e os outros 64 se tornam Y .

Sequenciamento de Chaves (*Key-Schedule*)

- O sequenciamento de chaves para esta cifra é extremamente simples.
- A chave de 128 bits é particionada em duas, os 64 bits mais à esquerda se tornam X e os outros 64 se tornam Y .
- Então, a i -ésima subchave é igual a $X \lll (5 \cdot (\frac{i}{2}))$, se i for par, e $Y \lll (5 \cdot (\frac{i}{2}))$ se i for ímpar.

Sequenciamento de Chaves (*Key-Schedule*)

- O sequenciamento de chaves para esta cifra é extremamente simples.
- A chave de 128 bits é particionada em duas, os 64 bits mais à esquerda se tornam X e os outros 64 se tornam Y .
- Então, a i -ésima subchave é igual a $X \lll (5 \cdot (\frac{i}{2}))$, se i for par, e $Y \lll (5 \cdot (\frac{i}{2}))$ se i for ímpar.
- Não utiliza S-boxes em seu agendamento de chaves.

Composição da cifra

- Possui 10 rodadas.
- Na última aplica-se uma subchave a mais em vez de MixColumns.

$$R_i = \textit{ShiftRows} \circ \textit{MixColumns} \circ \textit{SubCells} \circ AK_i$$

$$\textit{FUTURE} = AK_{10} \circ \textit{ShiftRows} \circ \textit{SubCells} \circ AK_9 \circ R_8 \circ R_7 \circ \dots \circ R_1 \circ R_0$$

- Os estados são indexados de tal maneira que o i -ésimo estado é o resultado da aplicação da i -ésima operação ($P = \#0$ e $C = \#40$).

Biclique Balanceada

Fase de Preparação

- A biclique escolhida é 4–dimensional.

Fase de Preparação

- A biclique escolhida é 4–dimensional.
- A chave é particionada em $2^{128-2\cdot 4} = 2^{120}$ grupos.

Fase de Preparação

- A biclique escolhida é 4–dimensional.
- A chave é particionada em $2^{128-2 \cdot 4} = 2^{120}$ grupos.
- *FUTURE* é definida como $FUTURE = f \circ g \circ h$, onde:

Fase de Preparação

- A biclique escolhida é 4–dimensional.
- A chave é particionada em $2^{128-2\cdot 4} = 2^{120}$ grupos.
- *FUTURE* é definida como $FUTURE = f \circ g \circ h$, onde:
 - *h* cifra o texto simples para até o estado #17,

Fase de Preparação

- A biclique escolhida é 4–dimensional.
- A chave é particionada em $2^{128-2\cdot 4} = 2^{120}$ grupos.
- *FUTURE* é definida como $FUTURE = f \circ g \circ h$, onde:
 - *h* cifra o texto simples para até o estado #17,
 - *g* cifra o estado #17 para o estado #25 e

Fase de Preparação

- A biclique escolhida é 4–dimensional.
- A chave é particionada em $2^{128-2 \cdot 4} = 2^{120}$ grupos.
- *FUTURE* é definida como $FUTURE = f \circ g \circ h$, onde:
 - h cifra o texto simples para até o estado #17,
 - g cifra o estado #17 para o estado #25 e
 - f cifra o estado #25 para o texto cifrado.

Fase de Preparação

- Quaisquer duas subchaves são um conjunto gerador para a chave se o índice de uma for par e o da outra for ímpar.

Fase de Preparação

- Quaisquer duas subchaves são um conjunto gerador para a chave se o índice de uma for par e o da outra for ímpar.
- As partições são tais que:

Fase de Preparação

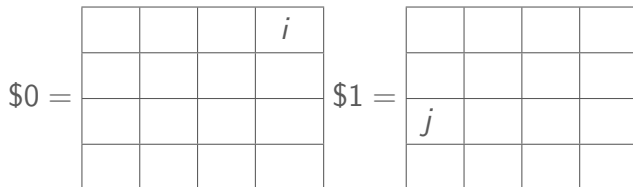
- Quaisquer duas subchaves são um conjunto gerador para a chave se o índice de uma for par e o da outra for ímpar.
- As partições são tais que:
 - O nibble 3 de \$0 é o único nibble ativo de Δ^K e

Fase de Preparação

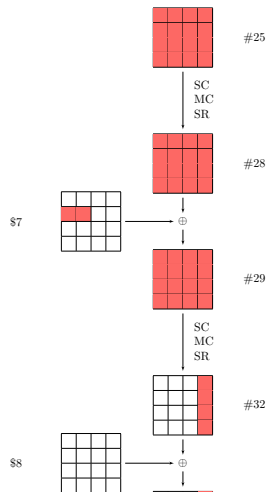
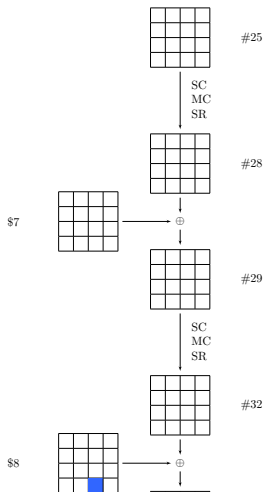
- Quaisquer duas subchaves são um conjunto gerador para a chave se o índice de uma for par e o da outra for ímpar.
- As partições são tais que:
 - O nibble 3 de $\$0$ é o único nibble ativo de Δ^K e
 - O nibble 8 de $\$1$ é o único nibble ativo de ∇^K .

Fase de Preparação

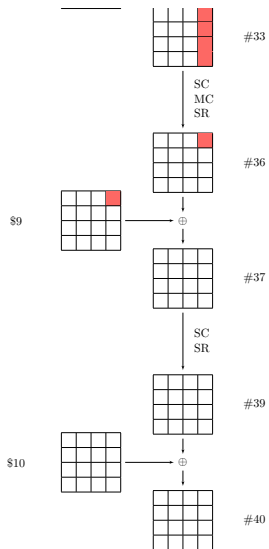
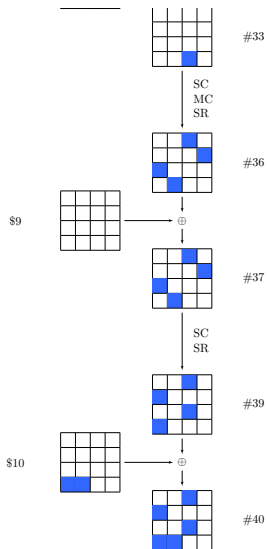
- Quaisquer duas subchaves são um conjunto gerador para a chave se o índice de uma for par e o da outra for ímpar.
- As partições são tais que:
 - O nibble 3 de $\$0$ é o único nibble ativo de Δ^K e
 - O nibble 8 de $\$1$ é o único nibble ativo de ∇^K .



Biclique



Biclique



Combinação com pré-computações

- Aqui é checado se a chave secreta pertence a este grupo.

Combinação com pré-computações

- Aqui é checado se a chave secreta pertence a este grupo.
- A variável intermediária v é o nibble 3 do estado #17.

Combinação com pré-computações

- Aqui é checado se a chave secreta pertence a este grupo.
- A variável intermediária v é o nibble 3 do estado #17.

$$P_i \xrightarrow[h]{K[i,0]} v_{i,0}^1 \text{ e } v_{0,j}^2 \xleftarrow[g]{K[0,j]} S_j$$

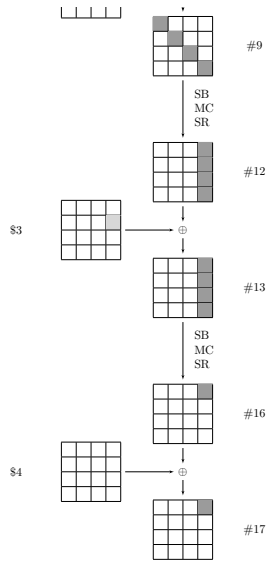
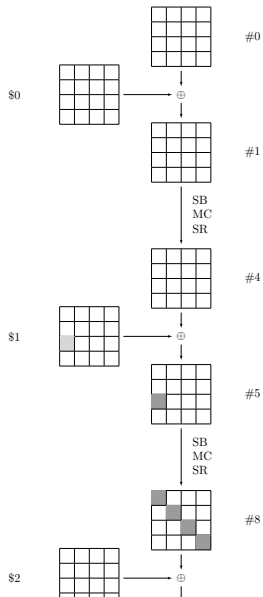
Combinação com pré-computações

- Aqui é checado se a chave secreta pertence a este grupo.
- A variável intermediária v é o nibble 3 do estado #17.

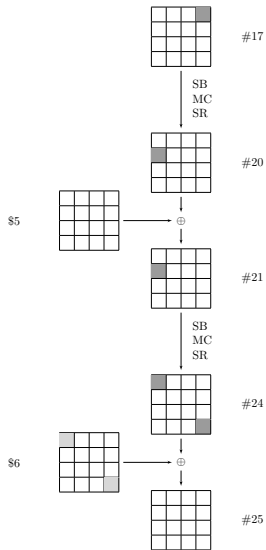
$$P_i \xrightarrow[h]{K[i,0]} v_{i,0}^1 \text{ e } v_{0,j}^2 \xleftarrow[g]{K[0,j]} S_j$$

- Todos os nibbles que são afetados por ambas as diferenciais devem ser recomputados.

Recomputação de ida



Recomputação de volta



Complexidades

- A **complexidade de dados** é determinada pelo número de nibbles ativos no texto cifrado.

Complexidades

- A **complexidade de dados** é determinada pelo número de nibbles ativos no texto cifrado.
- Apenas 5 nibbles são afetados e, portanto, apenas 2^{20} pares de textos simples/cifrados são necessários.

Complexidades

- A **complexidade de dados** é determinada pelo número de nibbles ativos no texto cifrado.
- Apenas 5 nibbles são afetados e, portanto, apenas 2^{20} pares de textos simples/cifrados são necessários.
- Em termos de **memória**, o ataque é limitado por 2^4 computações de $g \circ h$.

Complexidades

- A **complexidade de dados** é determinada pelo número de nibbles ativos no texto cifrado.
- Apenas 5 nibbles são afetados e, portanto, apenas 2^{20} pares de textos simples/cifrados são necessários.
- Em termos de **memória**, o ataque é limitado por 2^4 computações de $g \circ h$.
- O cálculo completo de $g \circ h$ consiste em 25 estados e 6 subchaves, com 16 nibbles cada.

Complexidades

- A **complexidade de dados** é determinada pelo número de nibbles ativos no texto cifrado.
- Apenas 5 nibbles são afetados e, portanto, apenas 2^{20} pares de textos simples/cifrados são necessários.
- Em termos de **memória**, o ataque é limitado por 2^4 computações de $g \circ h$.
- O cálculo completo de $g \circ h$ consiste em 25 estados e 6 subchaves, com 16 nibbles cada.
- Portanto, a complexidade de memória é $2^4 \cdot (25 + 16) \cdot 16 = 10.496$ nibbles, o que equivale a 5.248 bytes.

Complexidades

- A **complexidade de tempo** é determinada por

$$C_{total} = 2^{k-2d} (C_{biclique} + C_{precomp} + C_{recomp} + C_{falpos}).$$

Complexidades

- A **complexidade de tempo** é determinada por

$$C_{total} = 2^{k-2d}(C_{biclique} + C_{precomp} + C_{recomp} + C_{falpos}).$$

- O cálculo dos custos é dado pela porcentagem de S-boxes necessárias para realizar o ataque, em comparação com o número total de S-boxes na cifra.

Complexidades

- A **complexidade de tempo** é determinada por

$$C_{total} = 2^{k-2d} (C_{biclique} + C_{precomp} + C_{recomp} + C_{falpos}).$$

- O cálculo dos custos é dado pela porcentagem de S-boxes necessárias para realizar o ataque, em comparação com o número total de S-boxes na cifra.
- Por exemplo,

$$C_{recomp} = (2^8 - 2^4) \cdot (11/160) = 2^{4,0444}$$

Complexidades

- A **complexidade de tempo** é determinada por

$$C_{total} = 2^{k-2d}(C_{biclique} + C_{precomp} + C_{recomp} + C_{falpos}).$$

- O cálculo dos custos é dado pela porcentagem de S-boxes necessárias para realizar o ataque, em comparação com o número total de S-boxes na cifra.
- Por exemplo,

$$C_{recomp} = (2^8 - 2^4) \cdot (11/160) = 2^{4,0444}$$

- Ao final tem-se:

$$C_{total} = 2^{120}(2^{2,0820} + 2^{3,2863} + 2^{4,0444} + 2^{2,5110}) = 2^{125,18}$$

Conclusões

Conclusões

- Apresentamos aqui o ataque de biclique mais rápido e com, de longe, a menor complexidade de dados na cifra FUTURE de rodadas completas.
- É uma biclique balanceada de dimensão 4, que requer apenas 2^{20} pares para ser executado e tem complexidade de tempo de $2^{125,18}$.
- Todos os diagramas completos podem ser encontrados em <https://github.com/Clique33/BicliqueFinder>.
- Trabalhos futuros sobre esta cifra envolvem a busca por bicliques desbalanceadas.
- O mesmo processo também pode ser aplicado a outras cifras leves, como a família GIFT.

Fim de Apresentação

Referências

-  Himadry Sekhar Roy, Prakash Dey, Sandip Kumar Mondal, and Avishek Adhikari.
Cryptanalysis of full round future with multiple biclique structures.
Peer-to-Peer Networking and Applications, 17(1):397–409, 2024.
-  André Schrottenloher and Marc Stevens.
Simplified modeling of mitm attacks for block ciphers: New (quantum) attacks.
IACR Transactions on Symmetric Cryptology, 2023:146–183, 2023.
-  Zeyu Xu, Jiamin Cui, Kai Hu, and Meiqin Wang.
Integral attack on the full future block cipher.
Tsinghua Science and Technology, 2024.